

تحلیل عددی جریان سیال حول مقطع پروانه نیمه مغروق با پروفیل لبه انتهایی خطی در اعداد وبر متفاوت

احسان یاری^{۱*}، حسن قاسمی^۲

دکتری مهندسی دریا-هیدرودینامیک، دانشگاه صنعتی مالک اشتر اصفهان؛ ehsanyari11@gmail.com
 آستاد مهندسی دریا-هیدرودینامیک، دانشگاه صنعتی امیرکبیر؛ gasemi@aut.ac.ir

چکیده

در این مطالعه تحلیل جریان حول مقطع دوبعدی پروانه نیمه مغروق با پروفیل لبه انتهایی خطی در اعداد وبر مختلف مورد بررسی قرار گرفته است. در اثر برخورد مقطع دوبعدی به سطح آب در بخش پشتی مقطع ناحیه هوادهی ایجاد می گردد که بشدت بر روی نتایج حاصل از تحلیل تاثیرگذار می باشد. شکل ناحیه هوادهی تابعی از پارامترهای مختلف هندسی و جریانی مقطع دوبعدی از پروانه نیمه مغروق می باشد. در این مقاله به طور خاص تاثیر پارامتر کشش سطحی و عدد وبر مورد بررسی قرار گرفته است. بر طبق داده های بدست آمده در اعداد وبر پایین پارامتر کشش سطحی سبب افزایش میزان بالآمدگی سطح آب شده و قطرات آب در دنباله مقطع پره قابل مشاهده می باشند. در اعداد وبر بالاتر از عدد وبر بحرانی پارامتر کشش سطحی فقط سبب ریزش قطرات سیال در ناحیه ورودی می شود.

اطلاعات مقاله

ناریخچه مقاله:

تاریخ دریافت مقاله: ۱۳۹۳/۱۰/۱۵
 تاریخ پذیرش مقاله: ۱۳۹۴/۱۲/۰۲

کلمات کلیدی:

عدد وبر
 لبه انتهایی خطی
 پروانه نیمه مغروق

Numerical Investigation of Fluid Flow Around a Cross-Section of Surface Piercing Propeller with Linear Trailing Edge Profile in Various Weber Numbers

Ehsan Yari^{1*}, Hassan Ghassemi²

¹ PhD of marine engineering-hydrodynamic, Maleke ashtar University of Technology, Esfahan, Iran

² Professor of marine engineering, Amirkabir University of Technology, Tehran, Iran

ARTICLE INFO

Article History:

Received: 5 Jan. 2015

Accepted: 21 Feb. 2016

Keywords:

Weber number

Linear Trailing Edge

Surface Piercing Propeller

ABSTRACT

In this study, two-dimensional flow analysis around cross-section of the surface piercing propeller with a linear profile trailing edge is studied in different Weber numbers. Due to collision of the two-dimensional cross section with surface water, aeration zone is created on the suction side that is heavily impact on the results. The ventilation pattern is a function of the geometrical parameters. In this article, in particular, the effect of surface tension and the Weber number have been investigated. According to the obtained results at low Weber numbers, the surface tension effect increases the amount of water surface uplift, and water droplets are visible in the trailing edge of blade section. At Weber numbers higher than critical Weber number, surface tension effect will only cause loss of fluid droplets in the inlet region.

رانش مانند هاب و براکت و.. نیز به خاطر اینکه مقداری از سطح پروانه خارج از آب می باشد کاهش می یابد. اما با توجه به پیچیدگی های تئوری که در زمینه طراحی پروانه های نیمه مغروق وجود دارد این سیستم رانش هنوز به عنوان یک سیستم رانش متداول محسوب نمی شود. در شکل ۱-الف هندسه یک نمونه پروانه نیمه

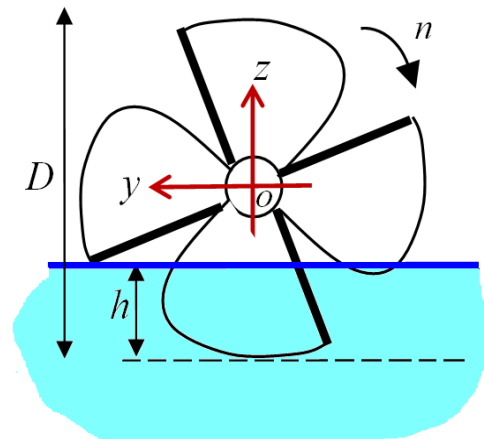
۱- مقدمه

پروانه های نیمه مغروق غالباً به عنوان سیستم های رانش دریایی با راندمان بالا شناخته می شوند. پروفیل مقطع این پروانه های بگونه ای طراحی می شود که از رخ دادن پدیده کاپیتاسیون بر روی سطح پروانه جلوگیری می کند. میزان درگ ناشی از ملحقات سیستم

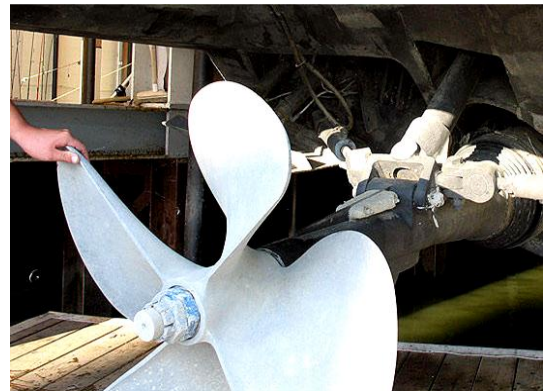
پارامترهای هوادهی و تغییرات و یک انجام گرفته است [۹]. فوروپا به مدلسازی پروانه نیمه مغروق با استفاده از روش عددی تئوری خطوط بالابر بالابر و با در نظر گرفتن پارامتر هوادهی پرداخت. او همچنین از روش تصویر کردن جهت بررسی سطح آزاد بهره جست اما محل هوادهی را لبه ابتدایی و بصورت کامل لحاظ کرده بود [۱۰]. در ادامه وانگ با در نظر گرفتن تئوری ورود دو بعدی به آب و ترکیب با روش عددی تئوری خطوط بالابر به محاسبه تراست و گشتاور پروانه پرداخت [۱۱]. کوپنتو به تحلیل پروانه نیمه مغروق با استفاده از روش RANS پرداخته است و یک نمونه پروانه نیمه مغروق چهار پره ای در یک دور عملکرد پروانه مورد بررسی قرار گرفته است و پارامترهای نیرویی بدست آمده با داده های موجود از المان مرزی و تست مقایسه شده اند. [۱۲]. کالیفانو و استین با استفاده از شبیه سازی به روش RANS مکانیزم های هوادهی در پروانه های دریایی را در حالت کاملاً مغروق مورد بررسی قرار دادند [۱۳]. کازلوسکا و همکاران به مطالعه عددی و تجربی بر روی هوادهی پروانه های دریایی پرداختند. در این تحقیق برای یک نمونه پروانه استاندارد چهار پره ای نتایج تحلیل دینامیک سیالات محاسباتی مطابق با شرایط تست شبیه سازی شده و مورد تحلیل و بررسی قرار گرفته است. کلیه حالات مورد بررسی مربوط به پروانه های کاملاً مغروق می باشد [۱۴]. کوشن و همکاران به بررسی تست پدیده هوادهی یک نمونه پروانه تکی در آب راکد به- همراه موج پرداخته و هدف اولیه از انجام تحقیق را مقایسه داده- های تجربی و نتایج دینامیک سیالات محاسباتی عنوان کرده است. سپس پارامترهای مختلف میزان غوطه وری، وجود و عدم وجود موج و... در دو حالت پروانه با هوادهی و در حالت غیر هوادهی مورد بررسی قرار داده است [۱۵]. فراندو و ویویانی به بررسی تاثیر عدد وبر بر روی پروانه های نیمه مغروق مدل تست اشل شده پرداخته- اند [۱۶]. هیمی آنالیز عددی پروانه نیمه مغروق در حالت ناپایا و در حالت آب آزاد را با استفاده از روش RANS انجام داد. در این تحقیق هندسه پروانه نیمه مغروق مربوط به اولفسون مورد تحلیل قرار گرفته است و داده های بدست آمده با نتایج تست تجربی مورد مقایسه و اعتبار سنجی قرار گرفته است. بر اساس نتیجه گیری انجام شده داده های انتگرالی انطباق خوبی با داده های تجربی دارند اما داده های محلی اینگونه نمی باشند [۱۷].

در مطالعه حاضر آنالیز جریان حول مقطع دوبعدی پروانه نیمه مغروق با پروفیل لبه انتهایی خطی در اعداد وبر مختلف با استفاده از نرم افزار انسیس-فلوئنت بکمک مش متحرک^۴ مورد تحلیل و بررسی قرار گرفته است. شکل، ضخامت و توسعه ناحیه هوادهی در سطح پشت پره پروانه نیمه مغروق یا سطح بالایی پروفیل دوبعدی مقطع پروانه نیمه مغروق تابعی از پارامترهای مختلفی می باشد که کشش سطحی سطح آب نیز یکی از این پارامترها می باشد. جهت

مغروق چهار پره ای در یک آبخور مشخص نشان داده شده است. لبه انتهایی مقطع پره که در شکل ۱-ب مشخص می باشد، تاثیر بسزایی در رفتار جریان اطراف مقطع دوبعدی پره پروانه نیمه مغروق را داراست.



الف) شماتیک پروانه نیمه مغروق و موقعیت سطح آزاد



ب) هندسه واقعی یک نمونه پروانه نیمه مغروق

شکل ۱- هندسه پروانه نیمه مغروق بصورت شماتیک و واقعی

هندسه پروانه نیمه مغروق، از نظر ظاهری متفاوت با هندسه پروانه های متداول است. مقطع پره اغلب به گونه ای طراحی می شود که دارای لبه ابتدایی^۱ نوک تیز و لبه انتهایی^۲ ضخیم و پله دار است. لبه تیز ابتدایی، با زاویه ورودی کم طراحی می شود. تویی پروانه و ریشه پره در مقابل بارهای زیاد خارج از مرکز و تناوبی وارده، مقاوم ساخته می شوند. در گذشته به علت عدم پیشرفت قدرت پردازش سیستم های نرم افزاری بیشتر مطالعات صورت گرفته بر روی پروانه های نیمه مغروق بر پایه تست تجربی استوار بوده است. تحقیقات تجربی زیادی صورت گرفته است که مهمترین آنها توسط شیبا [۱]، هادلر و هکر [۲]، هکر [۳]، راینز [۴]، رز و کروپا [۵]، کروپا [۶]، رز و همکاران [۷] و وانگ [۸] اشاره کرد. تمرکز کلیه این تحقیقات بر روی تعیین متوسط تراست، گشتاور، ممان های خمشی و نیروهای جانبی بوده است. اولین فعالیت های مربوط به مدلسازی عددی پروانه های نیمه مغروق توسط ابرمت با استفاده از روش عددی تئوری خطوط بالابر و بدون در نظر گرفتن

معادله ممنتوم با استفاده از روش بالادست^۷ مرتبه دوم گسسته سازی و حل شده است. افت فشار در راستای سطوح وابسته به دو پارامتر کشش سطحی^۸ (σ) و خمیدگی سطح اندازه گیری شده در دو راستای R_1 و R_2 در دستگاه مختصات عمود بر هم می باشد.

$$p_2 - p_1 = \sigma \left(\frac{1}{R_1} + \frac{1}{R_2} \right) \quad (۴)$$

که p_1 و p_2 فشار سیالات دو طرف مرز مشترک می باشند. کشش سطحی همچنین می تواند بصورت جهش فشاری در راستای عرضی صفحه نوشته شود. نیروی روی سطح می تواند بصورت نیروی حجمی با استفاده از تئوری دیورژانس بیان شود. این نیروی حجمی می تواند به عنوان یک ترم چشمه به معادله ممنتوم اضافه گردد. که بصورت زیر می باشد [۲۰]:

$$F_{vol} = \sum_{i < j} \sigma_{ij} \frac{\alpha_i \rho_i \kappa_j \nabla \alpha_j + \alpha_j \rho_j \kappa_i \nabla \alpha_i}{\frac{1}{2}(\rho_i + \rho_j)} \quad (۵)$$

در مطالعه حاضر عدد وبر بصورت زیر در نظر گرفته شده است.

$$W_n = \sqrt{\frac{n^2 D^3}{\kappa}} \quad (۶)$$

که D ، n و κ بترتیب قطر چرخش، سرعت دورانی^۹ و ضریب مویبندی جنبشی^{۱۰} می باشد.

۳- مقطع دوبعدی پره پروانه نیمه مغروق

در جدول ۱ مشخصات هندسی مقطع دوبعدی از پره پروانه نیمه مغروق نشان داده شده است. مطابق شکل سه بعدی و مقطع دوبعدی نشان داده شده از پروانه در جدول ۱ پروفیل لبه انتهایی مقطع دوبعدی خطی در نظر گرفته شده است. پروانه نیز راستگرد می باشد که جهت چرخش در شکل نشان داده شده است. مختصات نقاط مقطع دوبعدی از پره به سه بخش مکش^{۱۱}، فشاری^{۱۲} و لبه انتهایی^{۱۳} تقسیم شده است و در جدول ۱ با توجه به دستگاه مختصات منطبق بر لبه ابتدایی مقطع ذکر شده است.

جدول ۱- مشخصات هندسی مقطع دوبعدی از پره پروانه نیمه مغروق

X(m)	Y_مکش(m)	X(m)	Y_مکش(m)
۰	۰	۰	۰
۰/۰۱	۰/۰۰۳۳۲	۰/۱۱	۰/۰۲۱۶۸۷
۰/۰۲	۰/۰۰۶۴۸	۰/۱۲	۰/۰۲۱۶۸۳
۰/۰۳	۰/۰۰۹۴۲۷	۰/۱۳	۰/۰۲۱۳۸۵
۰/۰۴	۰/۰۱۲۱۱۶	۰/۱۴	۰/۰۲۰۸۳
۰/۰۵	۰/۰۱۴۵۱۲	۰/۱۵	۰/۰۲۰۰۶۲
۰/۰۶	۰/۰۱۶۵۸۵	۰/۱۶	۰/۰۱۹۱۳۴
۰/۰۷	۰/۰۱۸۳۱۵	۰/۱۷	۰/۰۱۸۱۰۸

بررسی میزان تاثیر پذیری ناحیه هوادهی از کشش سطحی و به تبع آن عدد وبر مربوطه مقطع دوبعدی از پره پروانه نیمه مغروق در شعاع معین و در دوره های مختلف با و بدون در نظر گرفتن پارامتر کشش سطحی مورد بررسی و محاسبه قرار گرفته است. در انتها پس از استخراج نتایج محلی و انتگرالی علاوه بر مطالعه تاثیر عدد وبر محدوده عدد وبر بحرانی نیز استخراج شده است.

۲- معادلات حاکم

با توجه به اینکه در مطالعه حاضر هدف مدلسازی جریان حول مقطع دوبعدی پره پروانه نیمه مغروق از لحظه ورود به آب تا زمان خارج شدن از سطح آب با در نظر گرفتن اثر پارامتر کشش سطحی می باشد، لذا جهت شبیه سازی جریان سیال از مدل دوفازی آب و هوا^{۱۴} VOF شامل کشش سطحی و مدل RANS بر اساس روش حجم محدود استفاده شده است. در ادامه معادلات حاکم بر جریان سیال به همراه معرفی پارامترهای مختلف آمده است. فرم کلی معادله پیوستگی حاکم بر جریان سیال بصورت زیر می باشد:

$$\frac{\partial \rho}{\partial t} + \nabla \cdot (\rho \vec{u}) = 0 \quad (۱)$$

معادله (۱) فرم کلی معادله پیوستگی می باشد. معادله ممنتوم در دستگاه مختصات اینرسی بصورت ذیل می باشد.

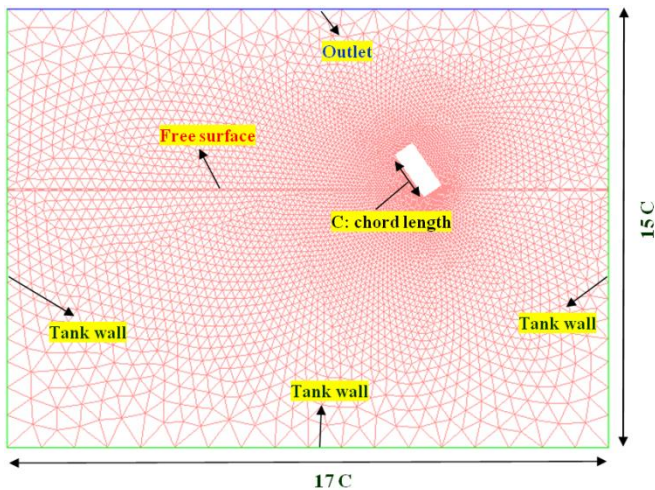
$$\frac{\partial}{\partial t} (\rho \vec{u}) + \nabla \cdot (\rho \vec{u} \vec{u}) = -\nabla p + \nabla \cdot (\rho \vec{\tau}) + \rho \vec{g} + \vec{F} \quad (۲)$$

که در معادله فوق p پارامتر فشار استاتیکی، $\vec{\tau}$ تانسور تنش و $\rho \vec{g}$ و \vec{F} بترتیب نیروهای حجمی وارد بر جسم و نیروهای خارجی می باشند.

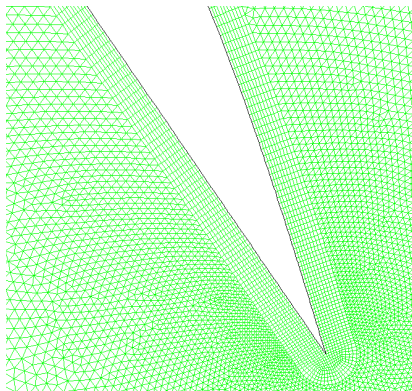
مدل استاندارد $k - \omega$ SST یک مدل تجربی بر اساس معادلات جابجایی مدل برای انرژی جنبشی اغتشاشی (k) و نرخ اضمحلال^{۱۵} ویژه (ω) مورد استفاده قرار گرفته است [۱۸]. جهت استخراج کسر حجمی آب و هوا از مدل دوفازی VOF که شامل تاثیر پارامتر کشش سطحی در مرز هر دوفاز آب و هوا می باشد استفاده شده است. این مدل با در نظر گرفتن پارامتر ویژه برای زوایای تماس بین فازها و دیواره ها تقویت شده است. محاسبه مرز بین فازها با حل معادله پیوستگی برای کسر حجمی یک فاز یا چند فاز اجرا می شود. برای فاز معادله بصورت ذیل می باشد:

$$\frac{1}{\rho_q} \left[\frac{\partial}{\partial t} (\alpha_q \rho_q) + \nabla \cdot (\alpha_q \rho_q \vec{u}_q) \right] = S_{\alpha_q} + \sum_{p=1}^n (\dot{m}_{pq} - \dot{m}_{qp}) \quad (۳)$$

که \dot{m}_{qp} انتقال جرم از فاز q به فاز p می باشد و \dot{m}_{pq} انتقال جرم از فاز p به فاز q می باشد. S_{α_q} اندازه اش صفر می باشد.



الف) شماتیک دامنه محاسباتی



ب) مقطع دوبعدی پره پروانه

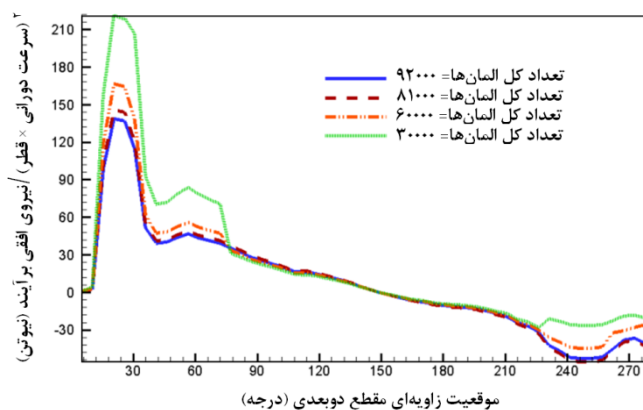
شکل ۲- شبکه بی‌سازمان و لایه مرزی تولید شده

۴- همگرایی در حل

جهت بررسی شرط استقلال شبکه، شبیه سازی عددی در چهار حالت از مش انجام شده است:

- شبکه بزرگ در ناحیه بیرونی
- سه مرحله ریز نمودن شبکه بطور همزمان در ناحیه متحرک، سطح آزاد و ناحیه بیرونی

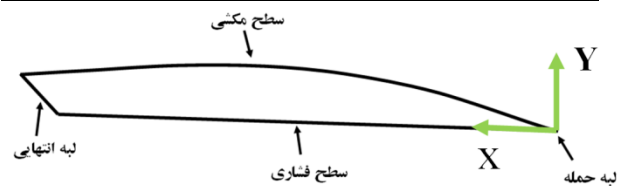
شکل ۳ همگرایی نتایج نیرویی افقی و عمودی را بر روی مقطع دوبعدی پره در یک دور چرخش نشان می‌دهد. مطابق شکل با ریز کردن شبکه حل، همگرایی نتایج عددی بسرعت اتفاق می‌افتد.



الف) نیروی افقی برآیند

۰/۰۸	۰/۰۱۹۶۹	۰/۱۸	۰/۰۱۶۴۰۱
۰/۰۹	۰/۰۲۰۷۰۷	۰/۱۹	۰/۰۱۳۷۱۲
۰/۱۰	۰/۰۲۱۳۶۸	۰/۲۰	۰/۰۰۹۵۵

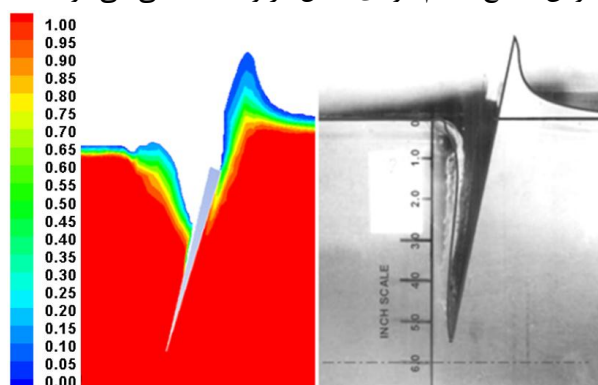
X(m)	Y_ فشاری(m)	X(m)	Y_ لبه انتهایی(m)
۰	۰	۰/۱۹۰	۰
۰/۰۵	۰	۰/۱۹۲	۰/۰۰۱۹۱
۰/۱۰	۰	۰/۱۹۴	۰/۰۰۳۸۲
۰/۱۵	۰	۰/۱۹۶	۰/۰۰۵۷۳
۰/۱۹	۰	۰/۱۹۸	۰/۰۰۷۶۴
		۰/۲۰۰	۰/۰۰۹۵۵



۳-۱- شبکه تولید شده و دامنه حل

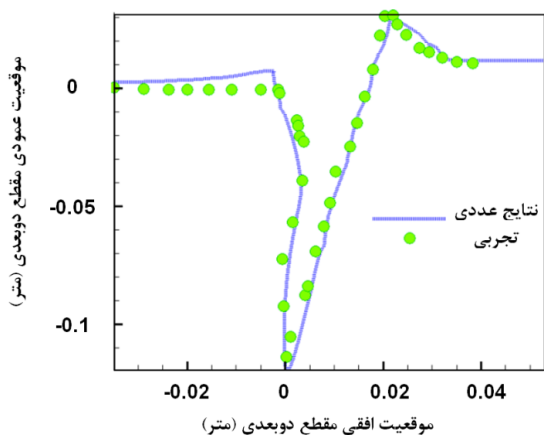
با توجه به اینکه در مطالعه حاضر از روش مش دینامیکی جهت تحلیل جریان حول مقطع دوبعدی از پره پروانه نیمه مغروق استفاده شده است، لذا تولید شبکه اطراف جسم و در محدوده نزدیک به آن در دامنه حل از اهمیت بسیار بالایی برخوردار می‌باشد. بنابراین جهت ارضای موارد فوق الذکر از یک دامنه حل کوچک نزدیک به جسم و یک دامنه حل بزرگتر حول دامنه حل اولی استفاده شده است. دامنه حل کوچکتر دارای ابعادی مطابق با $1/6$ برابر اندازه کورد مقطع پره در راستای محور طولی و $0/8$ برابر اندازه کورد مقطع پره در راستای محور عرضی می‌باشد. دامنه حل بزرگتر نیز دارای ابعاد 17 برابر اندازه کورد مقطع پره در راستای محور X و 15 برابر اندازه کورد مقطع پره در راستای محور Y می‌باشد. جهت مطالعه دقیق رفتار جریان در دامنه حل کوچکتر از شبکه هیبریدی استفاده شده است. بگونه‌ای که در نزدیکی سطح آزاد از شبکه سازمان یافته و حول جسم از لایه مرزی استفاده شده است. و در نواحی دورتر از جسم در دامنه حل کوچکتر و بزرگتر از شبکه بی سازمان استفاده شده است. با توجه به اینکه جریان دوفازی در مطالعه حاضر مورد بررسی قرار گرفته است لذا جهت افزایش پایداری در حل و دقت مطلوب در محدوده سطح آزاد از شبکه سازمان یافته استفاده شده است. در شکل ۲ شبکه تولید شده حول مقطع دوبعدی پره نشان داده شده است. تعداد کل شبکه تولید شده حول جسم و در دامنه حل 92000 المان سطحی می‌باشد. فاصله اولین المان از سطح جسم در حدود $0/9$ میلی متر می‌باشد. مقطع دوبعدی پره از مقطع شعاعی $r=0.7R$ پروانه نیمه مغروق انتخاب شده است و شعاع چرخش مقطع دوبعدی پره $0/4$ متر می‌باشد.

لبه ابتدایی مقطع گوه‌ای شکل مشاهده می‌گردد. که از عدم نوک تیز بودن مقطع جسم گوه‌ای شکل در واقعیت ناشی می‌شود.

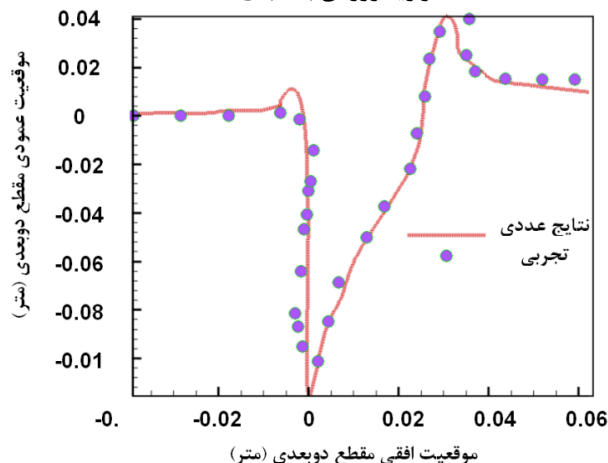


شکل ۵- مقایسه توزیع کسر حجمی آب و هوا حول جسم گوه ای مطالعه حاضر با نتایج تجربی [۱۹]

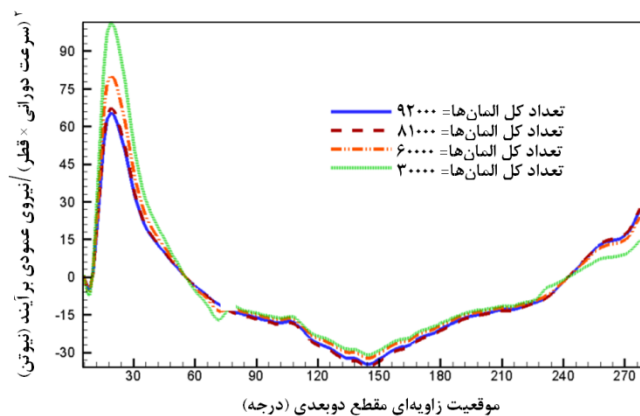
در شکل ۶ پروفیل ناحیه هوادهی جسم گوه‌ای شکل در زوایای مختلف ورودی به آب در مقایسه با نتایج تجربی نشان داده شده است. مطابق شکل با افزایش زاویه ورودی به آب، خطای بیشتری در سطح هوادهی مقطع گوه‌ای شکل و نزدیک به لبه جلویی مقطع گوه‌ای شکل مشاهده می‌گردد. زیرا به علت همزمانی پدیده‌های کاونتاسیون^{۱۴} و هوادهی^{۱۵} در سطح هوادهی مقطع گوه‌ای شکل، ریزش گردابه‌ها در سطح هوادهی رخ می‌دهد که ناشی از ضعف مدل توربولانسی در مدلسازی عددی می‌باشد.



الف) زاویه ورودی به آب $\alpha = 6 \text{ deg}$



ب) زاویه ورودی به آب $\alpha = 8 \text{ deg}$

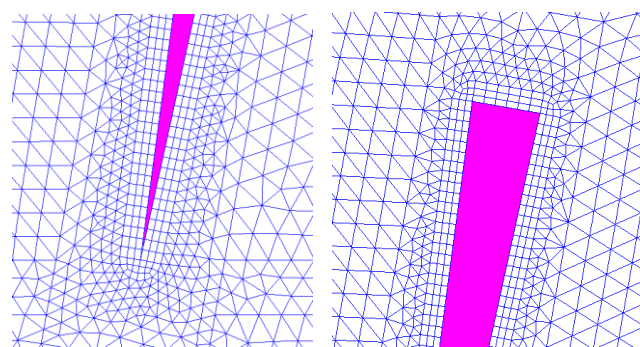


شکل ۳- همگرایی نیروی عمودی و عمودی بر روی سطح مقطع دوبعدی پره در یک دور چرخش در تعداد سلولهای محاسباتی مختلف

شکل ۳- همگرایی نیروی عمودی و عمودی بر روی سطح مقطع دوبعدی پره در یک دور چرخش در تعداد سلولهای محاسباتی مختلف

۵- اعتبارسنجی نتایج عددی با داده‌های تجربی

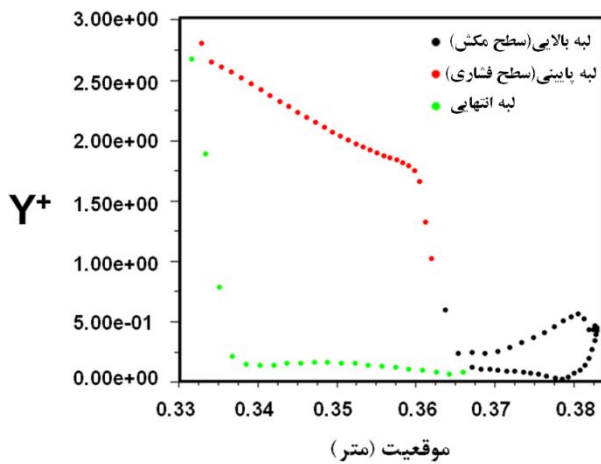
جهت بررسی اعتبار سنجی داده‌های عددی بدست آمده، از نتایج تجربی مربوط به یک مقطع گوه‌ای شکل انجام شده توسط ککس [۱۹] استفاده شده است. مقطع گوه‌ای شکل دارای طول کورد $0.4/0$ متر و ارتفاع 15 سانتی متر بوده و حول دایره ای با شعاع 0.1 متر می چرخد. سرعت دورانی مقطع گوه ای شکل حین چرخش $\omega = 100$ رادیان بر ثانیه می‌باشد. در شکل ۴ شبکه تولید شده حول مقطع دوبعدی جسم گوه ای شکل نشان داده شده است. مطابق شکل کلیه نکات ذکر شده جهت تولید شبکه حول مقطع دوبعدی پره در اینجا نیز رعایت شده و شبکه تولید شده مشابه شبکه تولید شده حول مقطع دوبعدی پره می باشد.



شکل ۴- شبکه تولید شده حول جسم گوه ای شکل

در شکل ۵ توزیع کسر حجمی آب و هوا بدست آمده از تحلیل عددی با نتایج تجربی مورد بررسی قرار گرفته است. مطابق شکل انطباق خوبی بین توزیع بدست آمده از حل عددی و نتایج تجربی وجود دارد. میزان بالآمدگی سطح آب از جمله پارامترهای بسیار مهمی می باشد که مورد اعتبارسنجی قرار گرفته است. در ادامه پروفیل ناحیه هوادهی بدست آمده از نتایج تحلیل عددی با در نظر گرفتن پارامتر کشش سطحی و داده‌های تجربی موجود حول مقطع گوه‌ای شکل نشان داده شده است. مطابق شکل انطباق بسیار خوبی بین داده های عددی و تجربی وجود دارد و تنها اختلاف ناچیزی در

شده است. کل محدوده حل شامل حدوداً ۹۲۰۰۰ سلول محاسباتی است. در شکل ۸، نمودار تغییرات Y^+ بر روی بدنه شناور زیرسطحی در سرعت مورد بررسی ارائه شده است.

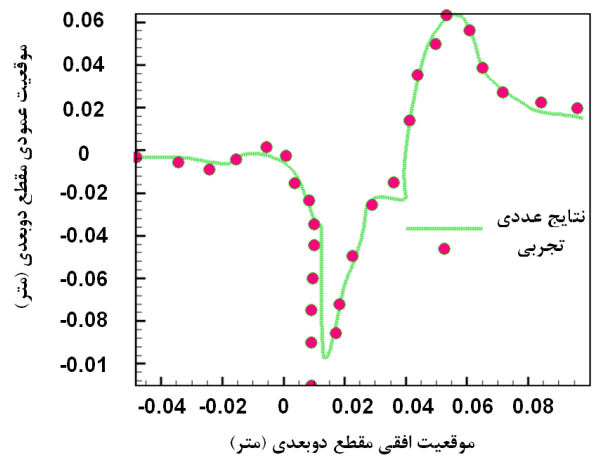


شکل ۸- نمودار تغییرات Y^+ بر روی سطح مقطع دوبعدی پره پروانه نیمه مغروق

۷- نتایج تحلیل عددی

در این بخش نتایج تحلیل عددی مقطع دوبعدی پره پروانه نیمه مغروق در اعداد وبر مختلف جهت بررسی اثر پارامتر کشش سطحی مورد بررسی قرار گرفته است. جهت مطالعه تاثیر کشش سطحی آنالیز عددی جریان حول مقطع دوبعدی پره در سه عدد وبر چرخش مقطع پره در یک مسیر دایره‌ای با شعاع ۰/۴ متر انجام گرفته است. با توجه به اینکه هدف اصلی از مطالعه حاضر بررسی تاثیر پارامتر کشش سطحی بر نتایج تحلیل مقطع دوبعدی پره می باشد، لذا در ادامه توزیع کسر حجمی آب و هوا در شرایط با و بدون تاثیر کشش سطحی در عدد وبر $Wn=16$ مورد بررسی قرار گرفته است و سپس پروفیل ناحیه هوادهی در اعداد وبر مختلف مورد مقایسه قرار گرفته است. در انتها نتایج نیرویی بر روی مقطع دوبعدی در حالت مختلف مقایسه شده اند.

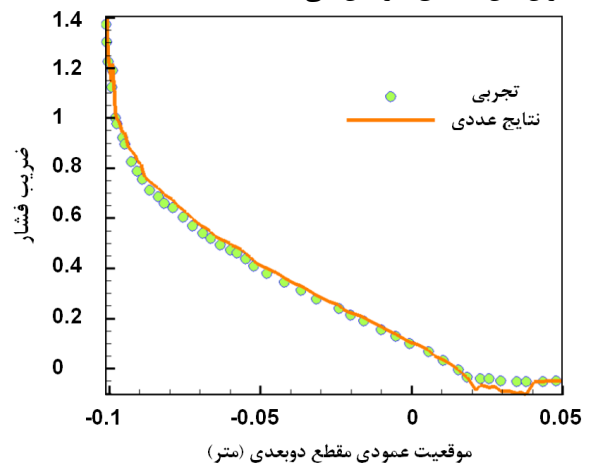
بیشترین تاثیر پارامتر کشش سطحی در لحظه ورود و خروج مقطع دوبعدی از سطح آب می باشد که البته لحظه ورود به آب از اهمیت بالاتری برخوردار می باشد. در شکل ۹ توزیع کسر حجمی آب و هوا در موقعیت های مکانی مختلف از لحظه ورود به آب تا لحظه خروج از آب در دو حالت با و بدون در نظر گرفتن تاثیر کشش سطحی در عدد وبر $Wn=16$ نشان داده شده است. مطابق شکل ۹-الف مشاهده می گردد که به علت تاثیر پارامتر کشش سطحی ضخامت ناحیه هوادهی کاهش یافته و پروفیل ناحیه هوادهی به صورت خطی توسعه می یابد در حالیکه در شکل ۹-ب که بدون اثر کشش سطحی می باشد در ناحیه پشت مقطع پروفیل ناحیه هوادهی به صورت سهموی در حال افزایش می باشد. علاوه بر این در مقایسه



ج زاویه ورودی به آب $\alpha = 10 \text{ deg}$

شکل ۶- پروفیل ناحیه هوادهی بدست آمده از نتایج عددی در مقایسه با نتایج تجربی [۱۹] در زوایای مختلف ورودی به آب جسم گوه‌ای

در شکل ۷ نمودار ضریب فشار بر روی سطح خیس جسم گوه‌ای شکل حین ورود به آب در مقایسه با نتایج تجربی مشاهده می گردد. همانگونه که مشاهده می گردد انطباق بسیار خوبی بین داده های عددی و نتایج تجربی وجود دارد. با پیشروی جسم به داخل آب میزان این انطباق افزایش می یابد.



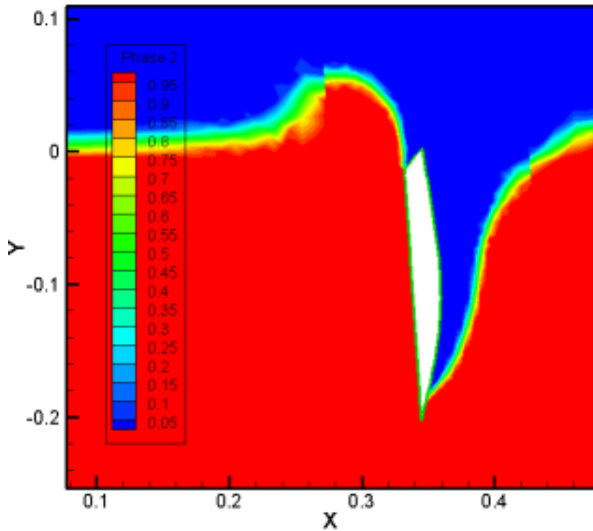
شکل ۷- نمودار ضریب فشار بر روی سطح خیس مقطع گ.های شکل در مقایسه با نتایج تجربی [۱۹] در زاویه ورودی به آب $\alpha = 10 \text{ deg}$

۶- تغییرات Y^+ نسبت به اجزای جسم

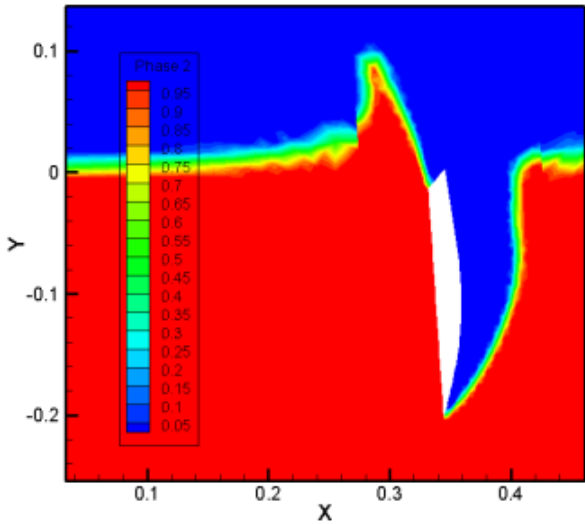
در مدل $k-wsst$ نیاز است که شبکه تا نزدیکی جسم جایی که قسمت لگاریتمی لایه مرزی آشفتگی محسوب می شود ادامه یابد. در این قسمت از لایه مرزی مغشوش مقدار Y^+ بین مقادیر ۱ تا ۳۰ قرار دارد. بنابراین ارتفاع اولین سلول مجاور جسم بایستی به اندازه ای باشد، که پس از حل عددی Y^+ آن در محدوده فوق قرار گیرد. بهتر است مقدار آن نزدیک به حد پایینی این بازه قرار گیرد. محدوده Y^+ اولین سلول مجاور جسم بایستی زیر ۳۰ قرار گیرد که البته مقدار آن بهتر است که نزدیک به یک باشد. ضخامت به کار رفته در اولین سلول مجاور جسم برابر ۰/۹ میلی متر در نظر گرفته

قطرات سیال در لبه پشتی ناحیه هوادهی می باشیم که با تاثیر پارامتر کشش سطحی هر دو این پارامترها حذف می شوند.

سطح جلویی (بالایی) هر دو شکل ۹-الف و ۹-ب مشاهده می گردد که به علت تاثیر پارامتر کشش سطحی میزان بالآمدگی در حالت تاثیر کشش سطحی کاهش یافته و جریان چسبیده به سطح بالایی جسم می باشد. لذا با تاثیر پارامتر کشش سطحی در اعداد وبر پایین مشاهده می گردد که ناحیه هوادهی فقط بر روی سطح پشتی مقطع تشکیل شده و به علت چسبندگی جریان به سطح جلویی مقطع دوبعدی جسم پرتاب جریان سیال به هوا و اتلاف انرژی حذف شده است.

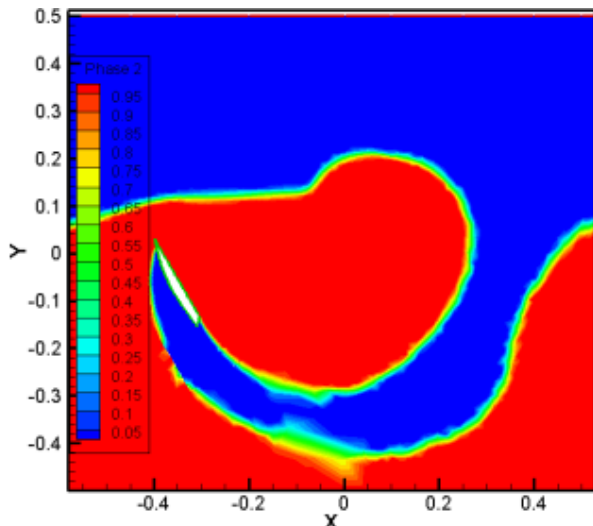


الف) با کشش سطحی

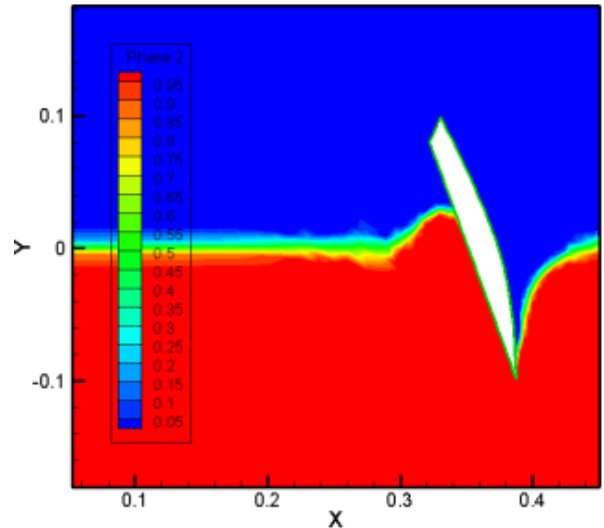


ب) بدون کشش سطحی

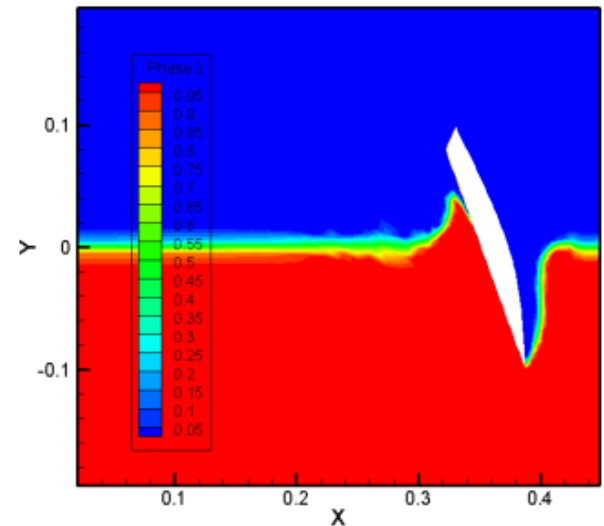
شکل ۱۰- توزیع کسر حجمی آب و هوا در عدد وبر $Wn=16$ و موقعیت $\theta = 45$ درجه



الف) با کشش سطحی



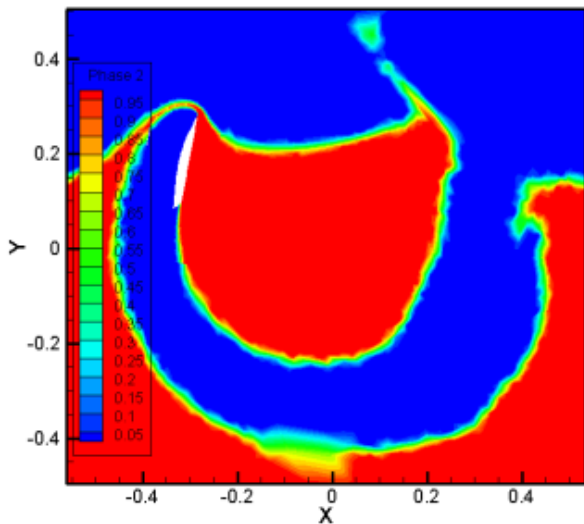
الف) با کشش سطحی



ب) بدون کشش سطحی

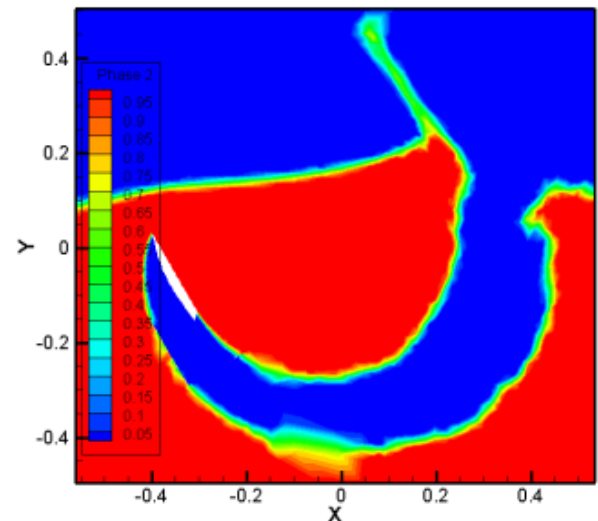
شکل ۹- توزیع کسر حجمی آب و هوا در عدد وبر $Wn=16$ و موقعیت $\theta = 27$ درجه

با پیشروی و حرکت مقطع دوبعدی پره به داخل سیال مطابق شکل های ۱۰-الف و ۱۰-ب مشاهده می گردد که با در نظر گرفتن پارامتر کشش سطحی میزان بالآمدگی یکباره سطح آب حذف شده و رشد ناحیه هوادهی اختلاف چشمگیری با حالت بدون تاثیر پارامتر کشش سطحی پیدا می کند. در ادامه در شکل ۱۱-الف و ۱۱-ب شاهد پرتاب سیال از لبه جلویی ناحیه هوادهی و ریزش



(ب) بدون کشش سطحی

شکل ۱۲- توزیع کسر حجمی آب و هوا در عدد وبر $Wn=16$ و موقعیت $\theta = 261 \text{ deg}$

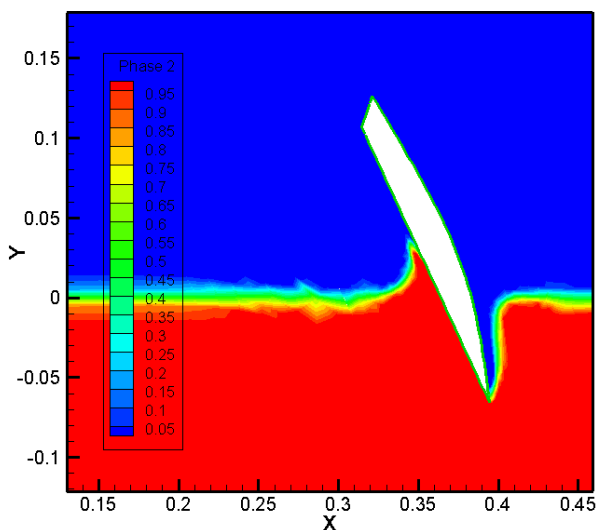


(ب) بدون کشش سطحی

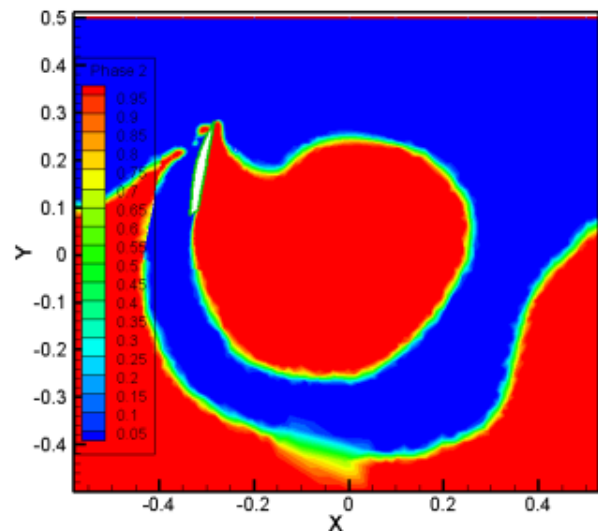
شکل ۱۱- توزیع کسر حجمی آب و هوا در عدد وبر $Wn=16$ و موقعیت $\theta = 216 \text{ deg}$

در شکل‌های ۱۳ الی ۱۵ توزیع کسر حجمی آب و هوا در تحلیل جریان حول مقطع دوبعدی پره در عدد وبر $Wn=170$ با و بدون کشش سطحی در نظر گرفتن پارامتر کشش سطحی نشان داده شده است. مطابق نتایج بدست آمده در لحظه ورود به آب تاثیر پارامتر کشش سطحی بسیار کم بوده و فقط بر روی ریزش قطرات آب در ناحیه ورودی هنگام خروج مقطع دوبعدی پره از آب تاثیرگذار می باشد. و عملاً اختلاف در شکل و ضخامت ناحیه هوادهی بسیار کم می باشد. بر طبق بررسی های انجام گرفته $Wn=170$ کوچکترین عدد وبری می باشد که داده های بدست آمده از آن با در نظر گرفتن پارامتر کشش سطحی کمترین تغییرات را داشته اند. لذا می توان آنرا به عنوان عدد وبر بحرانی در نظر گرفت.

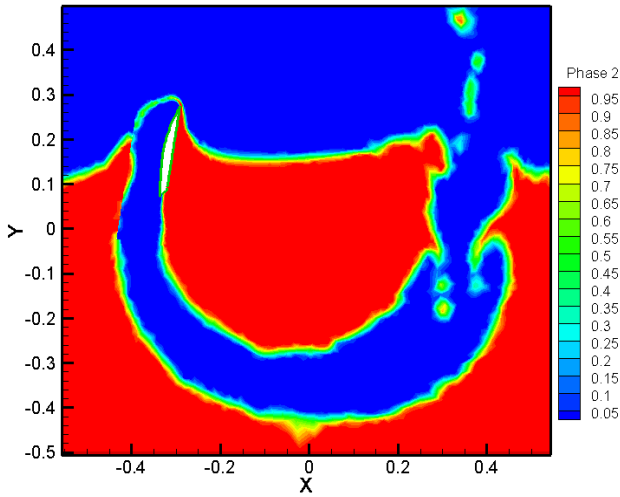
مطابق شکل ۱۲-الف و ۱۲-ب هنگام خروج مقطع دوبعدی پره از سطح آب پروفیل ناحیه هوادهی بشدت تحت تاثیر پارامتر کشش سطحی و عدد وبر می باشد، بگونه ای که اختلاف بسیار زیادی بین ضخامت ناحیه هوادهی پشت مقطع دوبعدی وجود دارد. و در حالت تاثیر کشش سطحی شاهد کاهش شدید ضخامت ناحیه هوادهی نزدیک جسم می باشیم.



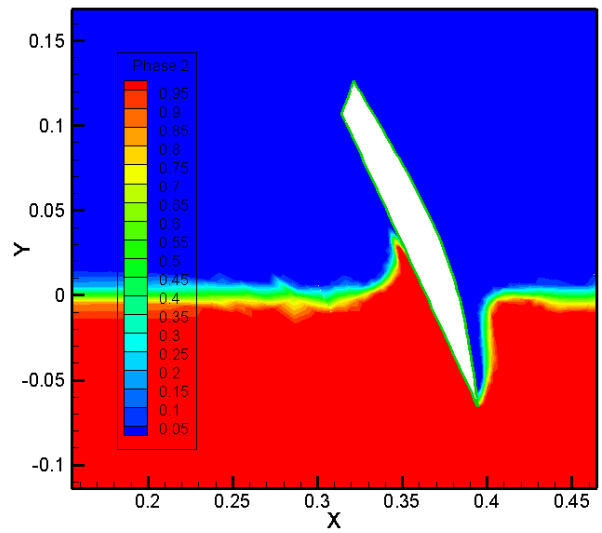
(الف) با کشش سطحی



(الف) با کشش سطحی

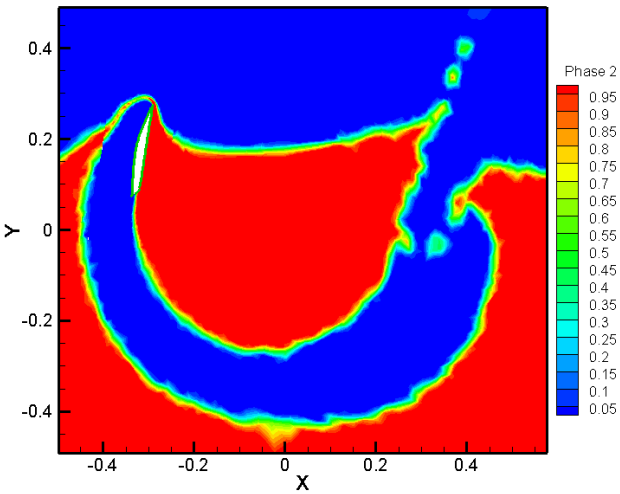


الف) با کشش سطحی



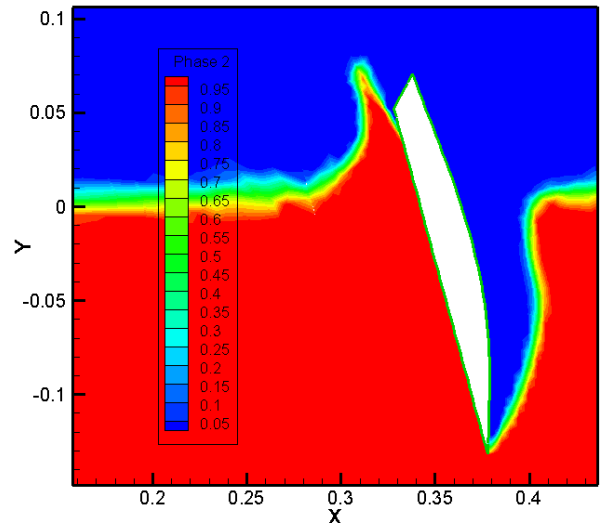
ب) بدون کشش سطحی

شکل ۱۳- توزیع کسر حجمی آب و هوا در عدد وبر $Wn=170$ و موقعیت $\theta = 15 \text{ deg}$

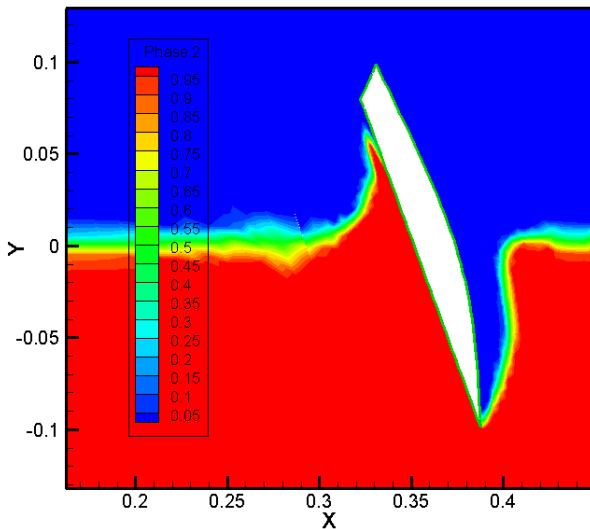


ب) بدون کشش سطحی

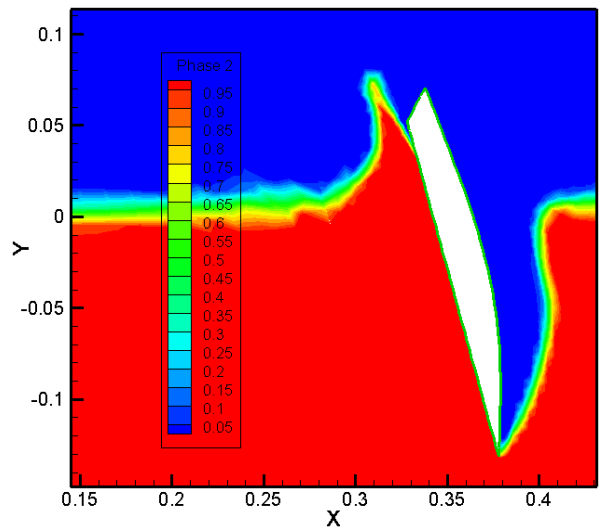
شکل ۱۵- توزیع کسر حجمی آب و هوا در عدد وبر $Wn=170$ و موقعیت $\theta = 208 \text{ deg}$



الف) با کشش سطحی

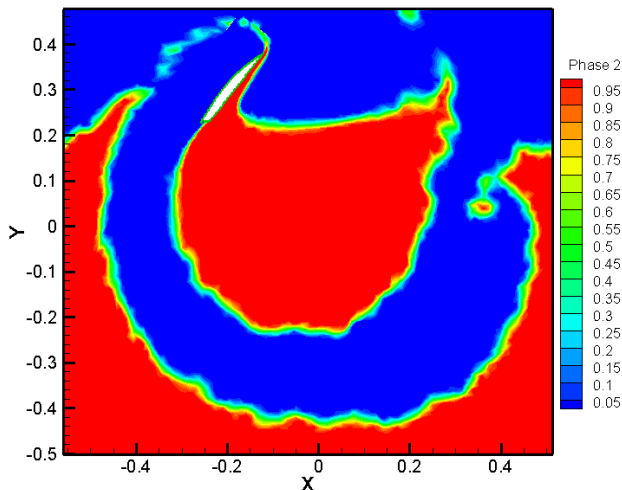


الف) با کشش سطحی



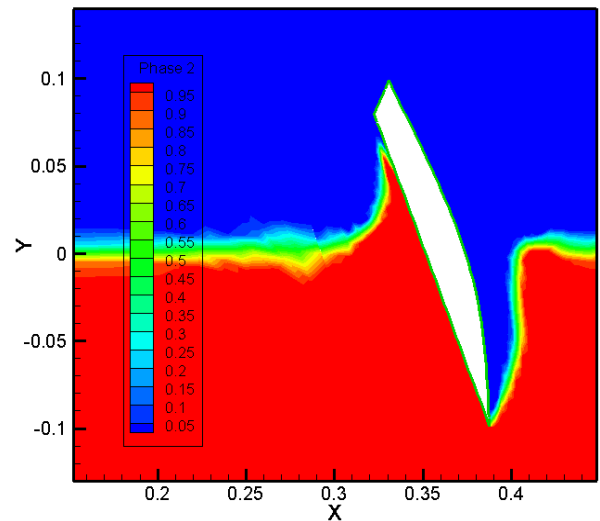
ب) بدون کشش سطحی

شکل ۱۴- توزیع کسر حجمی آب و هوا در عدد وبر $Wn=170$ و موقعیت $\theta = 23 \text{ deg}$



(ب) بدون کَشش سطحی

شکل ۱۷- توزیع کسر حجمی آب و هوا در عدد وبر $Wn=8530$ و موقعیت $\theta = 176 \text{ deg}$

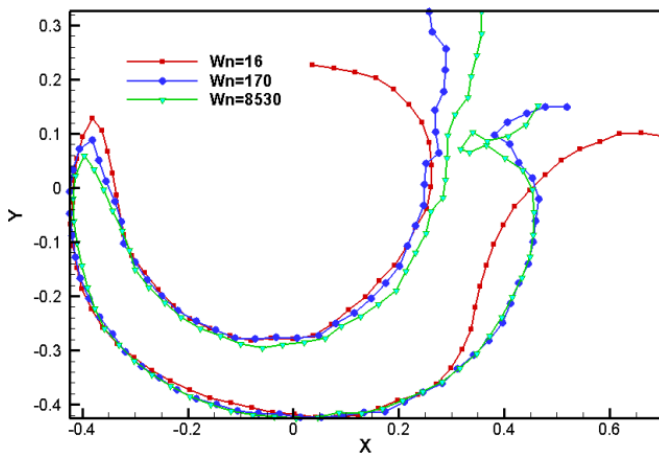


(ب) بدون کَشش سطحی

شکل ۱۶- توزیع کسر حجمی آب و هوا در عدد وبر $Wn=8530$ و موقعیت $\theta = 18 \text{ deg}$

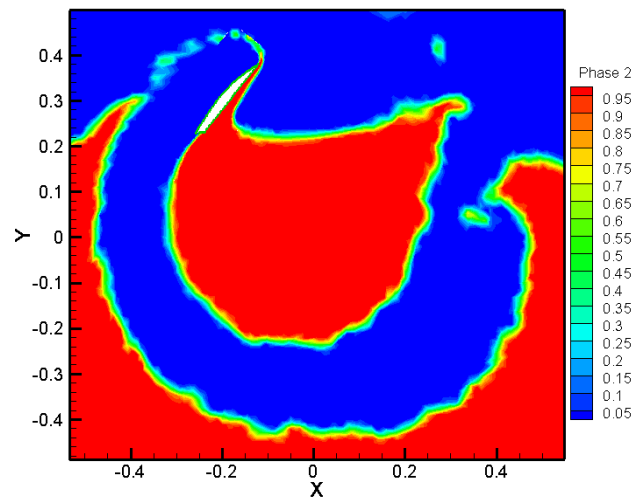
در شکل ۱۸ شکل ناحیه هوادهی حول مقطع دوبعدی پره در اعداد وبر مختلف نشان داده شده است. مطابق شکل مشاهده می‌گردد که در اعداد وبر پایین ضخامت ناحیه هوادهی در منطقه ورودی مقطع پره به آب کم بوده و با افزایش عدد وبر این میزان افزایش یافته و به سمت مقدار ثابتی همگرا می‌گردد. بگونه‌ای که در اعداد وبر $Wn=170$ و $Wn=8530$ اختلاف چندانی مشاهده نمی‌گردد. اما در سایر موقعیت‌های مربوط به مسیر حرکت جسم، شکل ناحیه هوادهی مشابه می‌باشد.

در شکل‌های ۱۶ و ۱۷ توزیع کسر حجمی در عدد وبر $Wn=8530$ با و بدون تاثیر پارامتر کَشش سطحی نشان داده شده است. در این حالت نیز مشابه عدد وبر $Wn=170$ هیچگونه اختلافی مابین نتایج بدست آمده از تحلیل عددی با در نظر گرفتن پارامتر کَشش سطحی و بدون تاثیر پارامتر کَشش سطحی مشاهده نمی‌گردد. و لذا شکل و ضخامت ناحیه هوادهی در هر دو حالت مشابه می‌باشند.



شکل ۱۸- شکل ناحیه هوادهی مقطع دوبعدی پره در اعداد وبر مختلف

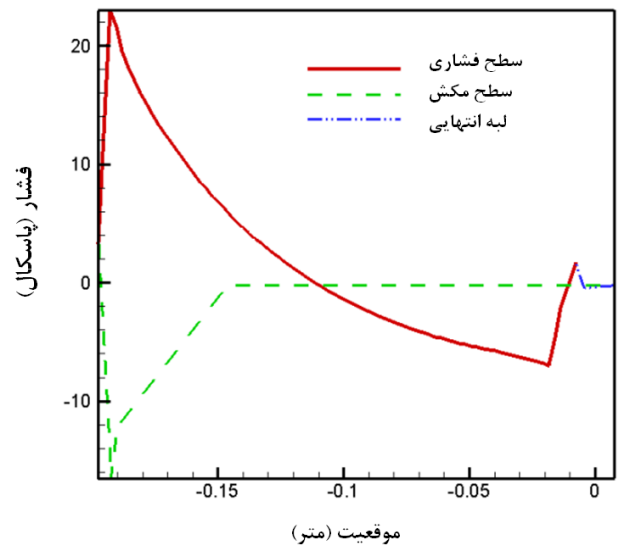
در شکل‌های ۱۹ الی ۲۱ نمودار فشار بر روی سطح جسم در موقعیت‌های متناظر نشان داده شده است. مطابق شکل با افزایش عدد وبر مشاهده می‌گردد که ناحیه پشتی زودتر به حالت کاملاً هوادهی شده رسیده است. سطح جلویی در هر سه حالت روند مشابهی را طی می‌کند. بر روی لبه انتهایی نیز با افزایش عدد وبر جریان ورودی از سطح جلویی زودتر جدا شده و ضخامت ناحیه هوادهی بیشتر افزایش می‌یابد.



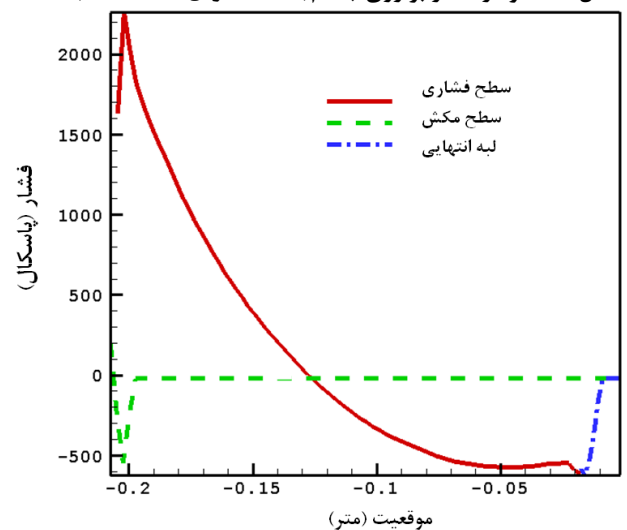
(الف) با کَشش سطحی

در عدد وبر $Wn=16$ با و بدون تاثیر پارامتر کشش سطحی نشان داده شده اند. مطابق شکل ۲۲-الف نیروی افقی کل بر روی سطح مکش مقطع دو بعدی در موقعیت های مختلف مکانی از لحظه ورود تا لحظه خروج با و بدون در نظر گرفتن پارامتر کشش سطحی نشان داده شده است. افزایش نیرو در حالت تاثیر کشش سطحی در موقعیت های مختلف مشاهده می گردد که علت آن این است که به علت تاثیر کشش سطحی سیال در ناحیه نزدیکتری از سطح جسم قرار داشته و لذا نسبت به حالت بدون تاثیر کشش سطحی اندازه نیرویی افزایش می یابد. که این دلیل برای نیروی عمودی بر روی سطح مکش نیز صدق می کند. (شکل ۲۳-الف) مطابق شکل های ۲۲-ب و ۲۳-ب اندازه نیروهای افقی و عمودی بر روی فشاری مقطع پره در حالات با و بدون تاثیر پارامتر کشش سطحی اختلاف چندانی با هم ندارند. زیرا بر روی سطح جلویی پره پدیده هوادهی رخ نداده و فقط به علت تاثیر پارامتر کشش سطحی تغییراتی جزئی وجود دارد.

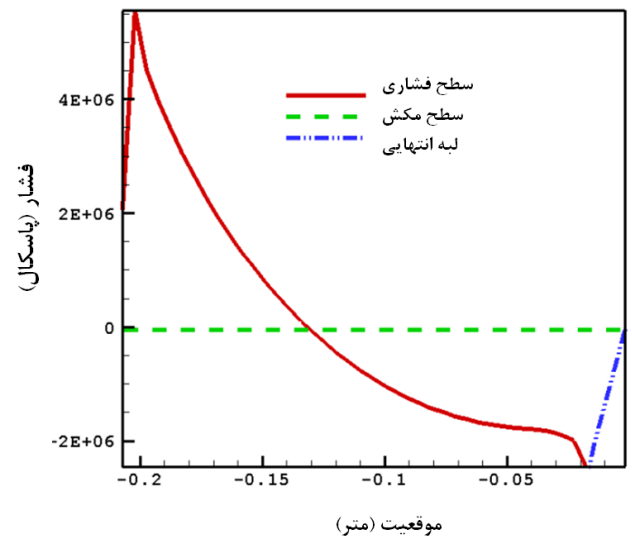
در شکل های ۲۲-ج و ۲۳-ج نیروهای افقی و عمودی بر روی لبه انتهایی مقطع دوبعدی پره نشان داده شده است. همانگونه که به سطح جسم چسبیده است، اندازه نیروهای افقی و عمودی در مقایسه با حالت بدون تاثیر پارامتر کشش سطحی کاهش می یابد. لازم به ذکر است که کاهش میزان نیرو بر روی لبه انتهایی پره پارامتر مثبتی بوده و سبب افزایش راندمان پروانه می گردد. در شکل های ۲۲-د و ۲۳-د نمودارهای نیروی افقی و عمودی کل بر روی مقطع دوبعدی پره نشان داده شده است. مطابق شکل با در نظر گرفتن پارامتر کشش سطحی افزایش ۲۰ درصدی نیرو را در غالب نقاط مشاهده می کنیم که این میزان در نیروی عمودی بیشتر می باشد.



شکل ۱۹- نمودار فشار بر روی جسم ($Wn=16$ و $\theta = 90 \text{ deg}$)

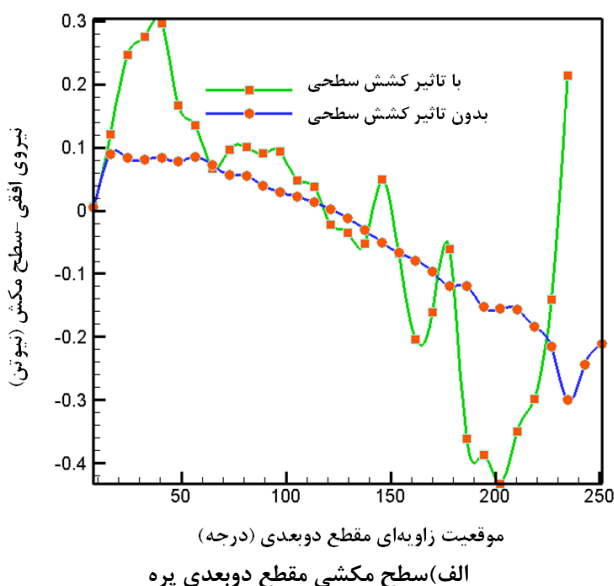


شکل ۲۰- نمودار فشار بر روی جسم ($Wn=170$ و $\theta = 90 \text{ deg}$)

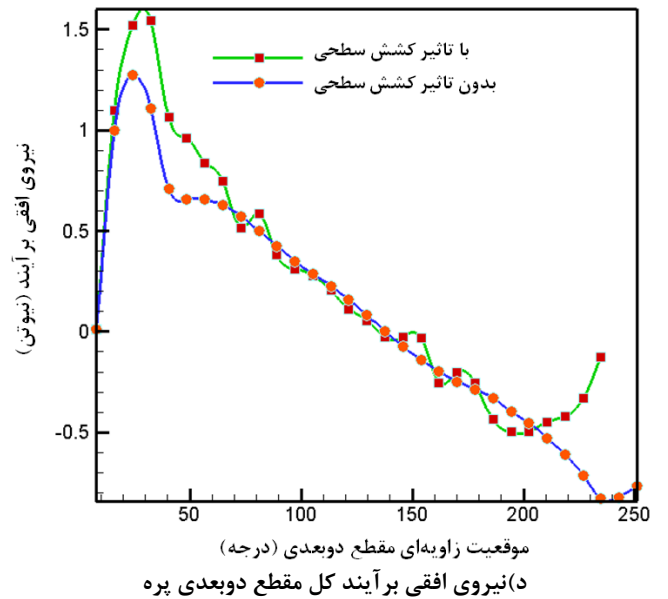
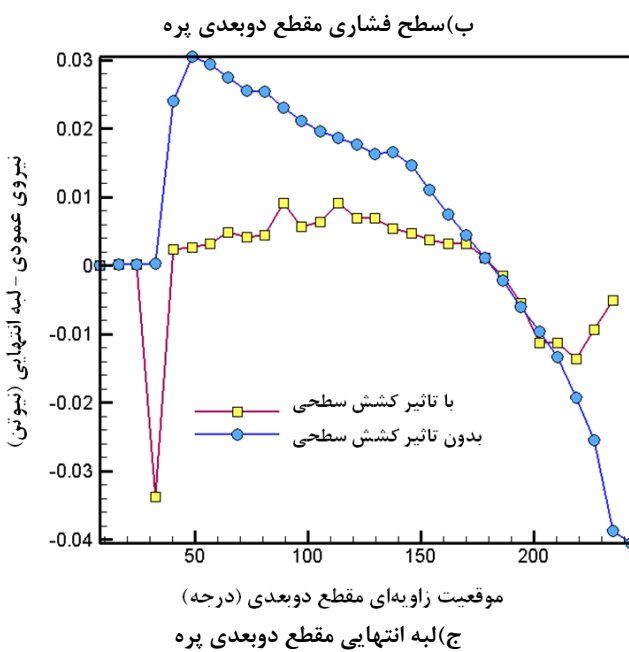
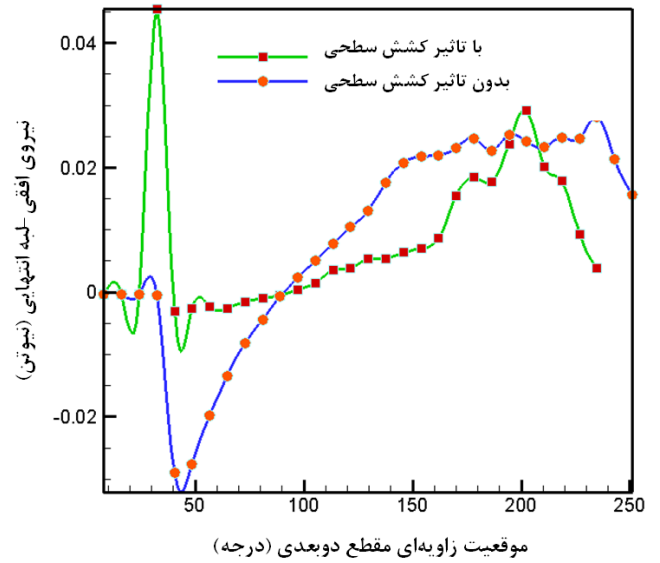
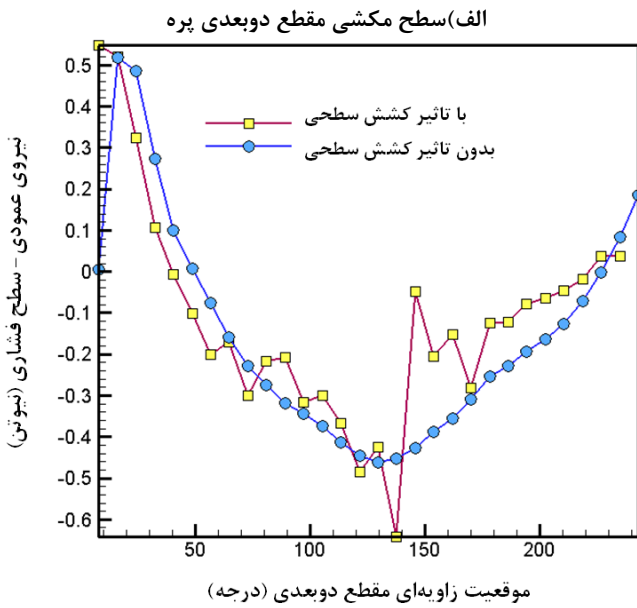
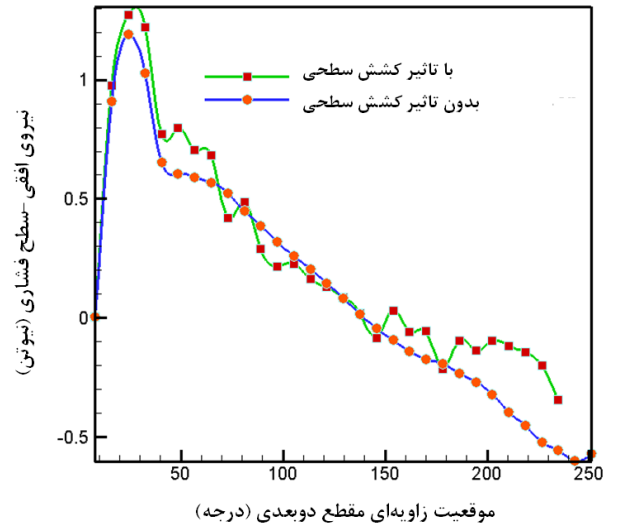
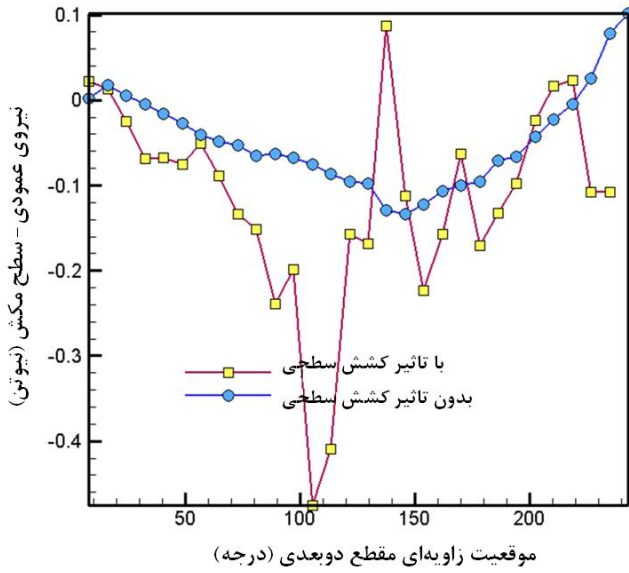


شکل ۲۱- نمودار فشار بر روی جسم ($Wn=8530$ و $\theta = 90 \text{ deg}$)

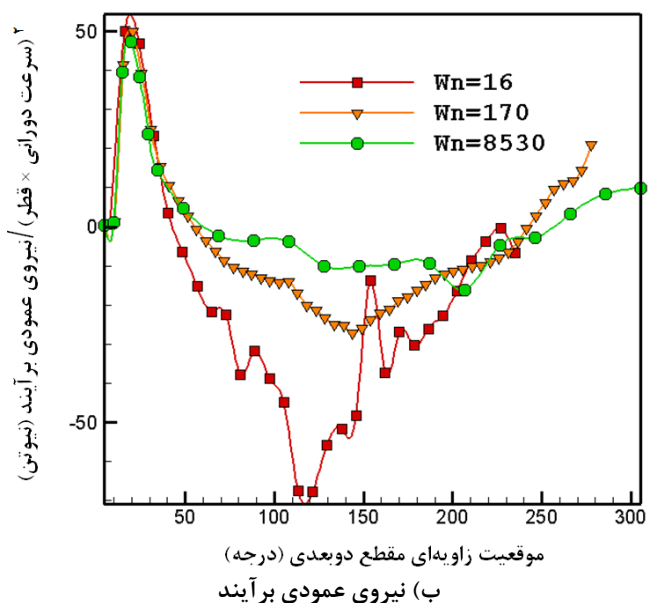
در ادامه در شکل های ۲۲ الی ۲۴ نتایج انتگرالی نیرویی بر روی سطوح مقطع دوبعدی نشان داده شده است. در شکل ۲۲ و ۲۳ نیروهای افقی و عمودی بر روی قسمت های مختلف مقطع دوبعدی



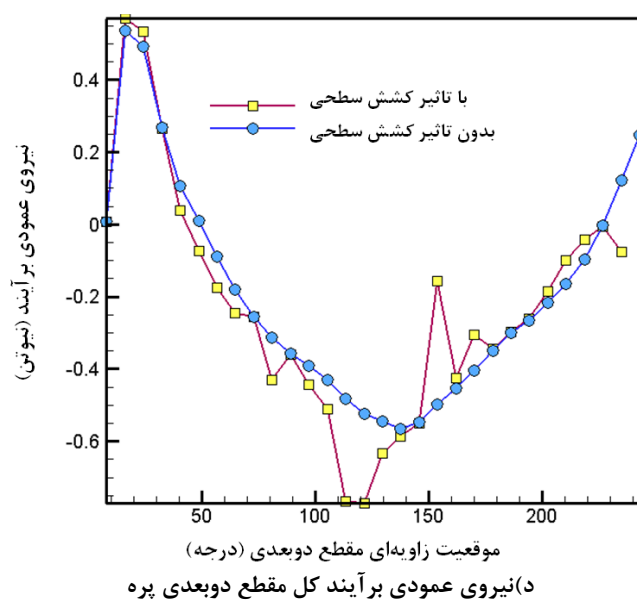
الف) سطح مکشی مقطع دوبعدی پره



شکل ۲۲- نمودار نیروی افقی بر حسب موقعیت مکانی در چرخش مقطع دوبعدی پره پروانه در $Wn=16$ با و بدون در نظر گرفتن پارامتر کشش سطحی



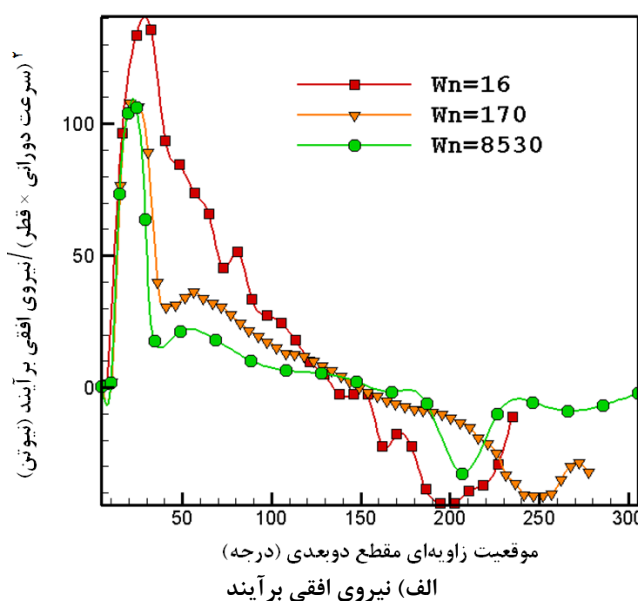
شکل ۲۴- نمودار نیروی عمودی و افقی کل بر حسب موقعیت مکانی در چرخش مقطع دوبعدی پره پروانه در اعداد وبر متفاوت



شکل ۲۳- نمودار نیروی عمودی بر حسب موقعیت مکانی در چرخش مقطع دوبعدی پره پروانه در $Wn=16$ با و بدون در نظر گرفتن پارامتر کشش سطحی

۸- نتیجه گیری

در مطالعه حاضر تاثیر پارامتر کشش سطحی بر روی چرخش مقطع دوبعدی پره پروانه نیمه مغروق مورد آنالیز و بررسی قرار گرفته است. به منظور اعتبار سنجی داده‌های عددی از داده‌های تجربی موجود از هندسه جسم گوه‌ای شکل استفاده گردید که بر طبق نتایج بدست آمده انطباق بسیار خوبی بین داده‌های عددی و نتایج تجربی موجود وجود دارد. جهت بررسی تاثیر پارامتر کشش سطحی آنالیز جریان حول جسم در سه عدد وبر $Wn=16,170,8530$ انجام گردید که عدد وبر $Wn=170$ عدد وبر بحرانی بوده که پس از انجام چندین آنالیز جریان در اعداد وبر مختلف و سعی و خطا استخراج شده است. سپس نتایج در سه عدد وبر پایین، بحرانی و عدد وبر بالا مورد بررسی قرار گرفته است. مطابق نتایج حاصل از شبیه‌سازی عددی در اعداد وبر کمتر از عدد وبر بحرانی شکل و ضخامت ناحیه هوادهی بشدت تحت تاثیر پارامتر کشش سطحی بوده و از حالت منحنی شکل فاصله گرفته و شبه خطی می‌شود. اما در اعداد بالاتر از عدد وبر بحرانی پارامتر کشش سطحی فقط بر روی ریزش قطرات سیال در ناحیه ورودی هنگام خروج مقطع پره از سطح آب تاثیر می‌گذارد. در مقایسه شکل ناحیه هوادهی بر حسب عدد وبر مشاهده می‌گردد که در اعداد وبر پایین ضخامت ناحیه هوادهی در منطقه ورودی جسم به آب کاهش یافته اما در سایر قسمت‌ها شکل ناحیه هوادهی تابع پارامتر کشش سطحی نمی‌باشد. مطابق داده‌های نیرویی بدست آمده مشاهده می‌گردد که در اعداد وبر پایین میزان نیروی کل افقی و عمودی بر روی مقطع دوبعدی جسم در حالت تاثیر کشش سطحی ۲۰ درصد بیشتر از حالت بدون تاثیر پارامتر کشش سطحی می‌باشد.



شکل ۲۲- نمودار نیروی عمودی و افقی کل بر حسب موقعیت مکانی در چرخش مقطع دوبعدی پره پروانه در اعداد وبر مختلف

Technical report, Inst.f'ur Schiffbau der Universit'at Hamburg, Bericht Nr. 247.

10- Furuya, O. (1985), *A performance prediction theory for partially submerged ventilated propellers*. Journal of Fluid Mechanics, 151:pp. 311–335.

11- Wang, D. (1979), *Oblique water entry and exit of a fully ventilated foil*. Journal of Ship Research, 23:pp. 43–54.

12- Mario Caponnetto. (2002), *RANSE Simulations of Surface Piercing Propellers*. Rolla Research.

13- Andrea Califano, Sverre Steen. (2009), *Analysis of different propeller ventilation mechanisms by means of RANS simulations*. First International Symposium on Marine Propulsors, smp'09, rondheim, Norway, June.

14- Anna M. Kozłowska, Katja Wöckner, Sverre Steen, Thomas Rung, Kourosh Koushan, Silas Spence.(2009), *Numerical and Experimental Study of Propeller Ventilation*. First International Symposium on Marine Propulsors, smp'09, rondheim, Norway, June.

15- Kourosh Koushan, Silas Spence, Luca Savio. (2011), *Ventilated Propeller Blade Loadings and Spindle Moment of a Thruster in Calm Water and Waves*. Second International Symposium on Marine Propulsors, smp'11, Hamburg, Germany, June.

16- M.Ferrando, M.Viviani, S.Crotti, P.cassella and Caldarella. (2006), *Influence of weber number on surface piercing propellers model test scaling*. Universita degli studi di Genova (DINAV), Genova, Italy, pp.667-676, 2006.

17- Kohei Himei (2013), *Numerical Analysis of Unsteady Open Water Characteristics of Surface Piercing Propeller*. Third International Symposium on Marine Propulsors smp'13, Launceston, Tasmania, Australia, 292-297.

18- D. C.Wilcox. (1998), *Turbulence Modeling for CFD*. DCW Industries, Inc. La Canada, California.

19- Cox, B. D. (1971), *Hydrofoil theory for Vertical Water Entry*. PhD thesis, Department of Naval Architecture, Massachusetts Institute of Technology.

20- J. U. Brackbill, D. B. Kothe, and C. Zemach. (1992), *A Continuum Method for Modeling Surface Tension*. J.Comput. Phys. 100. 335–354.

1. Leading Edge
2. Trailing Edge
3. Reynolds-averaged navier–stokes
4. Dynamic mesh
5. Volume of fluid
6. Dissipation rate
7. Upwind
8. Surface tension
9. Angular velocity
10. Kinematic capillary coefficient
11. Suction side
12. Pressure side
13. Trailing edge
14. Cavitation
15. Ventilation

منابع

- 1- Shiba, H. (1953), *Air-drawing of marine propellers*, Technical Report 9, Transportation Technical Research Institute.
- 2- Hadler, J. and Hecker, R. (1968), *Performance of partially submerged propellers*, in The 7th ONR Symposium on Naval Hydrodynamics, Rome, Italy.
- 3- Hecker, R. (1973), *Experimental performance of a partially submerged propeller in inclined flow*. Lake Buena Vista, FL. SNAME Spring Meeting.
- 4- Rains, D. A. (1981), *Semi-submerged propellers for monohull displacement ships*. In Propeller '81 Symposium, pages pp. 15–40, Virginia Beach, VA. Society of Naval Architects and Marine Engineers.
- 5- Rose, J. C. and Kruppa, C. F. L. (1991), *Surface piercing propellers – methodical series model test results*. In FAST'91, Norway.
- 6- Kruppa, C. F. L. (1992), *Testing surface piercing propellers*. In Hydrodynamics: Computations, Model Tests, and Reality, pages pp. 107–113.
- 7- Rose, J. C., Kruppa, C. F. L., and Koushan, K. (1993), *Surface piercing propellers - propeller/hull interaction". In FAST'93, pages pp. 867–881, Japan.*
- 8- Wang, D. (1977), *Water entry and exit of a fully ventilated foil*. Journal of Ship Research, 21:pp. 44–68.
- 9- Oberembt, H. (1968), *Zur bestimmung der instationären flügelkräfte bei einem propeller mit aus dem wasser herauschlagenden flügel*.